

ضرورت اندازه‌گیری ضرایب پراکندگی دستگاههای پرتو درمانی

*پروانه شکرانی * شهرام منادی*

*بخش پرتو رمانی، بیمارستان سیدالشهدا اصفهان

خلاصه

مهمترین هدف در پرتو درمانی، درمان قطعی تومور و حفظ بافت‌های سالم مجاور است. به این دلیل لازم است اختلاف بین دوز تجویز شده و دوز منتقل شده به تومور کمتر از ۲ درصد باشد. بمنظور محاسبه دوز تومور خروجی دستگاه پرتو درمانی برای یک میدان مرجع ($10 \times 10 \text{ cm}^2$) اندازه‌گیری می‌شود. هدف از انجام این تحقیق بررسی ضرورت استفاده از ضرایب پراکندگی برای تبدیل خروجی میدان مرجع به خروجی سایر میدان‌های مورد استفاده در پرتو درمانی بود.

ضرایب پراکندگی کل، Scp، کولیماتور، Sc و فانتوم Sp، به روش اندازه‌گیری و محاسبه برای دستگاههای پرتو درمانی بیمارستان سیدالشهداء (ع) اصفهان تعیین شد. Sc در فانتوم استوانه‌ای باریک ساخته شده در این تحقیق و Scp در فانتوم آب اندازه‌گیری شد. Sp از مقادیر Scp و Sc بدست آمد. صحت روش جداسازی Scp به دو قسمت Sc و Sp، برای مواردی که اندازه میدان کولیماتور با اندازه میدان فانتوم متفاوت است، با مقایسه مقادیر اندازه‌گیری و محاسبه شده Scp، برای میدان‌های بلوک شده ارزیابی شد.

نتایج حاصل از انجام این تحقیق نشان می‌دهد در صورت عدم استفاده از ضرایب پراکندگی پرتو MV ۱۲ شتاب دهنده خطی ساترن، دوز منتقل شده به تومور از $15 + \text{درصد}$ (در بزرگترین میدان) تا $6 - \text{درصد}$ (در کوچکترین میدان) با دوز تجویز شده متفاوت می‌باشد (در مورد C0 "خطا ± 8 درصد بود). برای محاسبه دوز در میدان‌های بلوک شده، صحت روش جداسازی Scp به Sc برای میدان کولیماتور و Sp برای میدان فانتوم تأیید شد (حداکثر انحراف از مقادیر تجربی $1/3$ درصد بود). در روش استفاده از میدان فانتوم برای انتخاب Scp، دوز تومور از $7/8$ درصد (برای بلوک ۲۷ درصد) تا $7/8$ درصد (برای بلوک ۹۰ درصد) بیشتر از دوز تجویز شده برای پرتو 12MV بود (خطا با افزایش بلوک و تزدیک شدن بلوک به مرکز میدان افزایش می‌یابد).

واژگان کلیدی: ضرایب پراکندگی، پرتو درمانی، بافت‌های سرتانی

مقدمه

دوز تجویز شده و دوز منتقل شده به تومور کمتر از ۲ درصد باشد، از اهمیت ویژه برخوردار است. بطور کلی میزان دوز جذب شده در یک نقطه از محیط مورد تابش به دو قسمت دوز پرتوهای اولیه و دوز پرتوهای پراکنده تقسیم می‌شود. دوز پرتوهای اولیه توسط پرتوهایی که مستقیماً از چشم منشاء

پرتو درمانی یکی از روشهای رایج برای درمان تومورهای بدخیم و برخی از تومورهای خوش خیم است. مهمترین هدف در پرتو درمانی نابودی سلولهای توموری و محافظت از بافت‌های سالم می‌باشد. به همین دلیل بهینه سازی روش محاسبه دوز جذب شده در پرتو درمانی بصورتیکه اختلاف

پارامترهای r_c و r_p اندازه میدان‌هایی است که بترتیب توسط کولیماتور و در سطح فانتوم تعريف می‌شود. تعريف عمق مرجع، d_{ref} در بین محققین متفاوت است. Holt و همکاران (۵) و Bewley و همکاران (۶)، عمق مرجع را برابر عمق ماکریزم دوز d_{max} ، معرفی کرده‌اند. Khan و همکاران (۷) اندازه‌گیری ضریب تصحیح پراکندگی کل در عمق ماکریزم d_{max} ، را مناسب ندانسته و پیشنهاد کرده‌اند که اندازه‌گیری در عمقی انجام شود که ورای برد الکترون‌های آلووده کننده باشد.

تعدادی از محققین اندازه‌گیری ضریب پراکندگی کولیماتور، Sc، را در هوا و با استفاده از cap build-up تعیین کردند. (۸,۹,۱۰) تعدادی نیز برای تعیین عمق مؤثر برای اندازه‌گیری در ورای بُرد الکترون‌های آلووده کننده و جهت دستیابی به تعادل الکترونی و بمنظور اندازه‌گیری در میدان‌های کوچک، از cap های ساخته شده از آلミニوم، مس و PTFE استفاده کرده‌اند. (۱۱,۱۲) نتیجه تحقیق Khan و همکاران (۷) همخوانی خوبی را بین اندازه‌گیری‌های انجام شده توسط cap از جنس PMMA و آلミニوم برای پرتوهای CO₂ و MV⁺ نشان می‌دهد. Gasteren و همکاران (۱۳) در مورد انرژی‌های بالاتر اهمیت اندازه‌گیری Sc در عمق ۵ یا ۱۰ cm را بترتیب برای پرتوهای با ضریب کیفیت تا ۷۵٪ و از ۷۵٪ به بالا را خاطر نشان کرده‌اند. روش آنها مزایای زیر را در بردارد:

- (۱) این روش با پروتکل‌های دوزیمتری جدید مطابقت دارد.

(۲) اثر الکترون‌های آلووده کننده ناچیز است.

(۳) اندازه‌گیری در عمقی که اهمیت بالینی دارد انجام می‌گیرد.

(۴) از مسئله مربوط به تغییرات عمق ماکریزم با میدان اجتناب می‌شود.

گرفته‌اند، بوجود می‌آید. قسمتی از پرتوهای اولیه در سیستم کولیماتور دستگاه پرتو درمانی و در فانتوم (بدن بیمار) پراکنده شده و دوز پرتوهای پراکنده، مشکل از دوز کولیماتور و دوز فانتوم را بوجود می‌آورد (۱). با افزایش ابعاد کولیماتور، میزان پراکنده‌گی فوتون‌ها از سطح کولیماتور افزایش یافته و به علت اضافه شدن پراکنده‌گی کولیماتور افزایش یافته به پرتو اولیه، بازده دستگاه افزایش می‌باشد. دوز کولیماتور و دوز فانتوم بطور مستقل از هم، بوسیله بلوك کردن میدان، قابل تغییر می‌باشد. (۲) بلوك کردن میدان و یا پوشاندن قسمتی از میدان پرتو بوسیله بلوك‌های سربی ممکن است تغییر زیادی در قسمت باز پرتو (دوز کولیماتور یا بازده) ایجاد نکند و در عوض پراکنده‌گی فانتوم (دوز فانتوم) را بطور مؤثر کاهش دهد. (۳) میزان تغییر پراکنده‌گی کولیماتور در اثر تغییر میدان توسط ضریب پراکنده‌گی کولیماتور، Sc، (یا ضریب بازده) و میزان پراکنده‌گی فانتوم در اثر تغییر میدان در فانتوم با استفاده از ضریب تصحیح پراکنده‌گی فانتوم، Sp، تعیین می‌شود. (۱)

نظر به اینکه در عمل، اندازه‌گیری دوز پرتوهای اولیه در فانتوم، بطور مستقل از پراکنده‌گی‌های کولیماتور و فانتوم ممکن نیست، می‌توان پراکنده‌گی کولیماتور را جزوی از دوز پرتوهای اولیه دانست و دوز پراکنده‌گی فانتوم را بطور جداگانه محاسبه نمود. (۴) تقسیم ضریب پراکنده‌گی کل، ScP، به دو قسمت کولیماتور، ScP، و فانتوم، Sp، اولین بار توسط Holt و همکاران (۵) توصیه شد. به این ترتیب فاکتورهای نسبی Sc و Sp که به مقادیر مربوط به یک میدان مرجع، عموماً میدان $10 \times 10 \text{ cm}^2$ و در یک عمق مرجع، d_{ref} ، و در فاصله SAD، نرمال شده‌اند از رابطه‌ی زیر بدست می‌آیند:

$$\text{ScP}(r_c, r_p, d_{ref}) = \text{Sc}(r_c, r_p, d_{ref}) \times \text{Sp}(r_c, r_p, d_{ref})$$

شده از روش ذکر شده برای Sc استفاده شد. سپس با استفاده از ضرایب Sc و Scp، مقادیر ضرایب Sp از فرمول (۱) محاسبه گردید. اندازه‌گیری‌ها برای سه دستگاه مختلف انجام گرفت. مشخصات دستگاهها و انرژی پرتوهای مورد اندازه‌گیری در جدول ۱ نشان داده شده است.

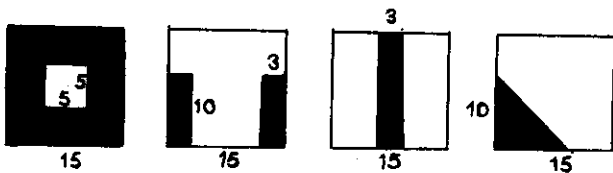
جدول ۱- مشخصات دستگاه‌های درمانی و پرتوهای مورد استفاده در این تحقیق

نام پرتو سازنده	SAD (cm)	E (MV)	نوع	بزرگترین میدان	QI
-	۲۵×۲۵	۶۰	^{60}Co	--	Philips beam ^۱
-	۳۵×۳۵	۸۰	^{60}Co	AECL	AECL beam ^۲
.M	۴۰×۴۰	۱۰۰	۱۲	Scmeas	CGR beam ^۳

^۱-AECL, Canada; CGR, BUC, France; Philips, Eindhoven, The Netherlands

$$\frac{2}{20} \text{QI} = \frac{V}{V_{10}} (6,9)$$

برای تأیید معادله (۱) و بررسی صحت اندازه‌گیری‌ها آزمایش زیر انجام شد. یک میدان $15 \times 15 \text{ cm}^2$ ، را بوسیله بلوک‌های سربی به چند طریق پوشانده (شیلد کرده) و به این ترتیب، میدان 5×5 و میدان‌های معادل 12×12 ، 8×8 و 13×13 (r_p)، بر روی فانتوم آب در فاصله SSD=SAD ساخته شد (شکل ۲) مقادیر Scp میدان‌های فوق در عمق ۵ cm اندازه‌گیری شده و با مقادیر محاسبه شدهی (r_p) Sc(r_p) × Sp مقایسه گردید.

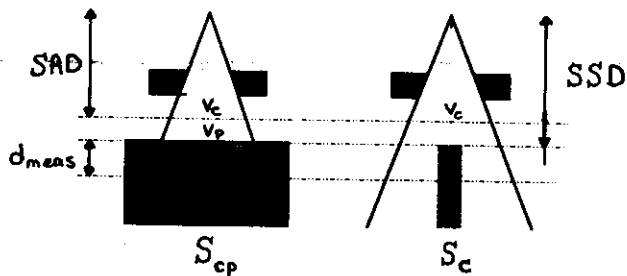


شکل ۲ - هندسه میدان‌های بلوك شده. اندازه میدان با (۱) سطع فانتوم $15 \times 15 \text{ cm}^2$ است. با قرار دادن بلوك بر روی صفحه نگهدارنده، اندازه میدان کاملاً یافته و میدان‌های 5×5 ، 8×8 ، 12×12 و $13 \times 13 \text{ cm}^2$ ساخته شد.

در این تحقیق ضرایب پراکندگی Scp و Sp به دو روش اندازه‌گیری و محاسبه برای دستگاه‌های پرتو درمانی بیمارستان سیدالشهداء (ع) اصفهان تعیین گردید و ضرورت استفاده از ضرایب پراکندگی برای محاسبات دوز تومور بررسی شد.

مواد و روشها

روش مورد استفاده در این تحقیق براساس اندازه‌گیری Scp و Sp با استفاده از رابطه (۱) می‌باشد. Sc، سهم کولیماتور از Scp یک میدان است که با استفاده از یک فانتوم باریک استوانه‌ای اندازه‌گیری شد. فانتوم استوانه‌ای از جنس پلی‌اتلنین فشرده و به قطر ۴ cm، مخصوص این تحقیق، ساخته شد و بطور هم محور با پرتو و در فاصله SAD قرار داده شد (شکل ۱).



شکل ۱: هندسه اندازه‌گیری Scp و Sc با استفاده از یک فانتوم با پراکندگی کامل و یک فانتوم استوانه‌ای باریک. ارتفاع فانتوم باریک ۱۵ سانتی‌متر است و اتفاق یونش (ا) می‌توان در عمقهای ۵ و ۱۰ سانتی‌متر قرار داد.

اتفاق یونش مدل NE2581 با حجم 0.7 cm^3 در عمق ۵ cm فانتوم استوانه‌ای باریک قرار داده شد و مقادیر یونش با استفاده از یک الکترومتر مدل NE2570 برای میدان‌های از $5 \times 5 \text{ cm}^2$ تا بزرگترین میدان هر دستگاه تعیین گردید. مقادیر خوانده شده برای هر میدان به مقدار خوانده شده برای میدان $10 \times 10 \text{ cm}^2$ نرمال شد. ضرایب Scp در فانتوم آب با پراکندگی کامل ($50 \times 50 \text{ cm}^3$) و در عمق ۵ cm اندازه‌گیری شد. جهت نرمال کردن مقادیر خوانده

نمی‌دهد (شکل ۵a). نظر به یکسان بودن انرژی، روند نامشابه تغییرات پراکنده‌ی به تفاوت در سیستم کولیماسیون این دو دستگاه مرسوط می‌شود. این مطلب با مشاهده روند مشابه تغییرات Sp (۳+۲-۲) درصد (شکل ۵a) و روند نابرابر تغییرات Sc دو دستگاه (۳+۲-۸) درصد در beam و ۳/۶+۳/۶ تا ۶-درصد در beam (شکل ۵b) مورد تأیید قرار می‌گیرد.

مقایسه ضرایب پراکنده‌ی پرتو ۱۲MV دستگاه شتاب دهنده خطی با پرتو کبالت به نتیجه‌گیری مشابهی ختم می‌شود. با اینکه پرتو پر انرژی ۱۲MV کمتر از پرتو کم انرژی کبالت پراکنده می‌شود، با اینحال بعلت ساختمان کولیماسیون متفاوت دستگاههای شتاب دهنده خطی ساترن و کبالت، تغییرات Sp پرتو ۱۲MV شیب تندتری را نسبت به Sc پرتو فوتون دستگاههای کبالت نشان می‌دهد.

Sc برای میدان‌های بلوک شده

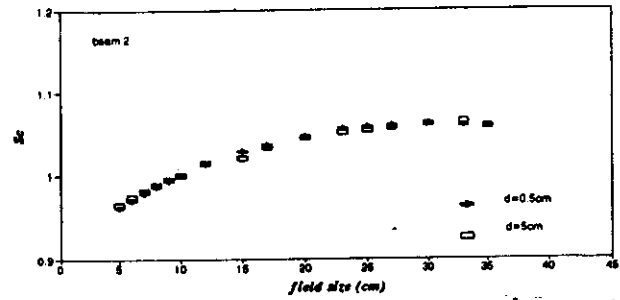
مقایسه مقادیر اندازه‌گیری شده و محاسبه شده Sc برای میدان‌های بلوک شده (شکل ۲) توافق خوبی را نشان می‌دهد. بیشترین انحراف $\frac{Sc_{calc} - Sc_{meas}}{Sc_{meas}} \times 100$ درصد برای پرتو کبالت بود.

در صورتیکه Sc به طرز صحیح از Sc و Sp با استفاده از رابطه (۱) محاسبه نشود و از یک میدان مشابه برای هر دو Sc و Sp استفاده شود، محاسبات دوز همراه با خطای خواهد بود. برای نمایش خطای نتایج اندازه‌گیری و محاسبات، برای پرتو ۱۲MV و کبالت، بترتیب در جدولهای ۲ و ۳ مقایسه شده است. خطای در محاسبات دوز از ۲/۴-۰/۴ درصد تا ۷/۸-درصد برای پرتو ۱۲MV و از ۰/۴-۷/۸ درصد برای پرتو کبالت تغییر می‌کند. روشن است مقدار خطای با افزایش مقدار بلوک و نزدیک شدن بلوک به مرکز میدان افزایش می‌یابد

نتایج و بحث

تأثیر عمق در اندازه‌گیری Sc برای پرتو CO⁶⁰ تأثیر عمق (d_{meas}) در اندازه‌گیری Sc به دو روش استفاده از cap build-up و فانتوم باریک استوانه‌ای مطالعه شد. نتایج برای دو عمق ۰/۵ و ۵ سانتی‌متر بر حسب تغییرات میدان در SAD توافق خوبی را نشان می‌دهد (شکل ۳).

در نتیجه برای اندازه‌گیری Sc پرتو CO⁶⁰، می‌توان از Build-up cap استفاده نمود.



شکل ۳، تأثیر عمق در اندازه‌گیری Sc برای پرتو CO⁶⁰ تعیین Sc، Sp و Sc، Sp برای پرتوهای فوتونی

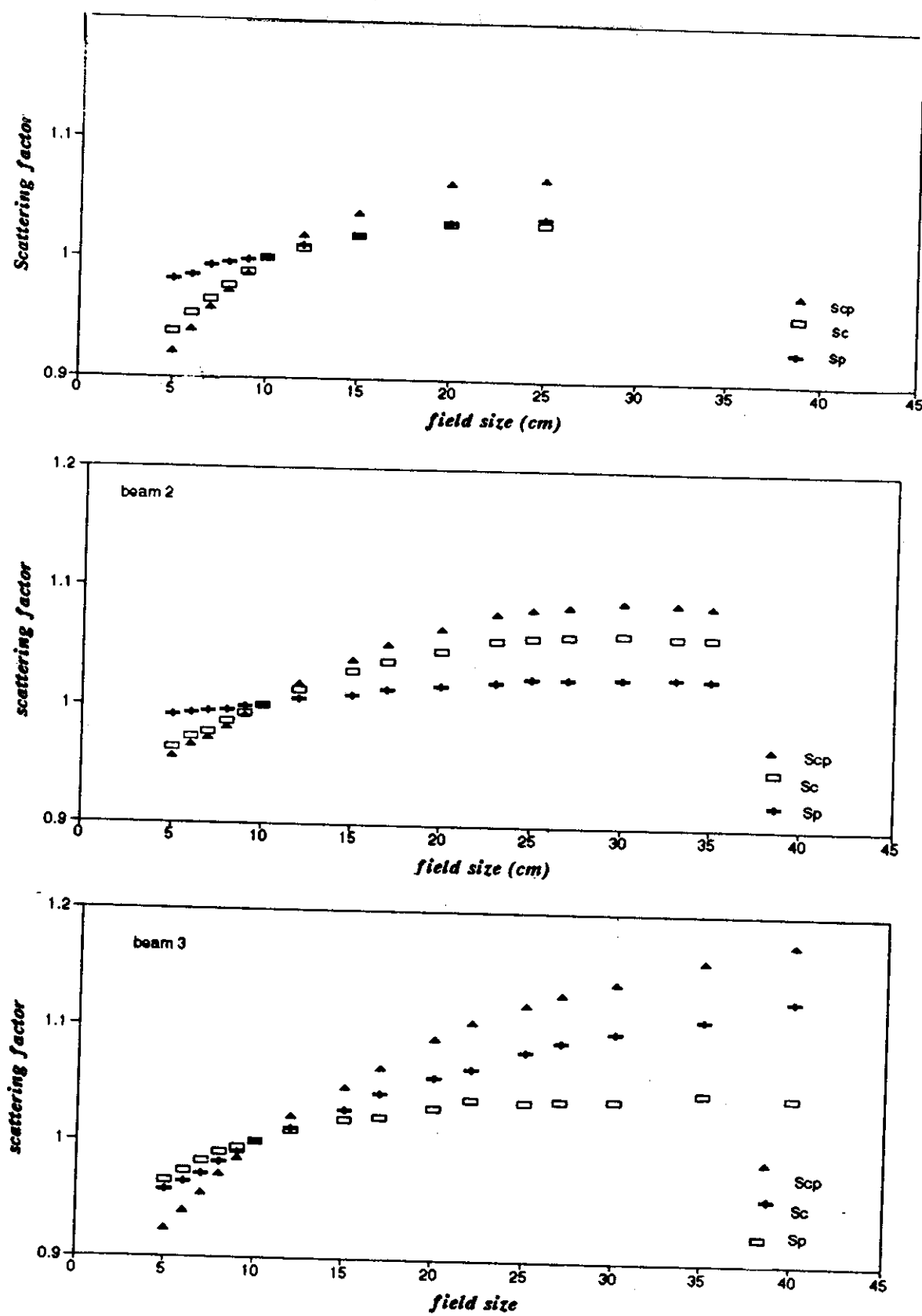
برای پرتوهای ذکر شده در جدول ۱ Sc_{p,1} در یک فانتوم آب با پراکنده‌ی کامل و Sc در فانتوم استوانه‌ای باریک اندازه‌گیری شد (شکل ۴). به این ترتیب محاسبه دوز در عمق d با استفاده از ضرایب Sc و Sp بصورت زیر انجام می‌شود:

$$D(r_c, r_p, d) = D(r_c = 10 \times 10, r_p = 10 \times 10 d_{max}) \times Sc(r_c, r_p, d_{max}) \times PDD(r_p, d)$$

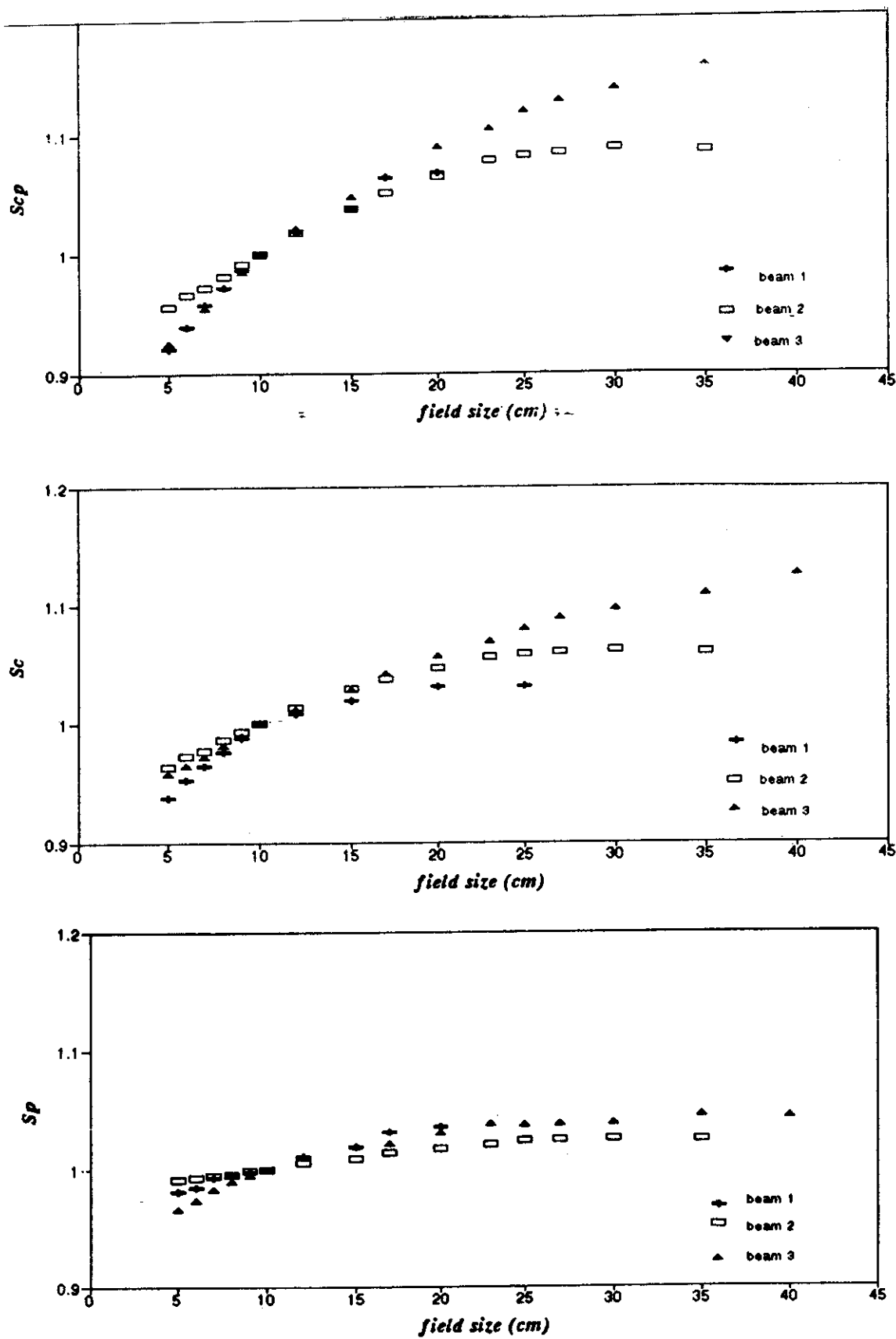
که در آن PDD(r_p, d) درصد دوز عمقی و d_{max} برابر است با:

$$Sc(r_c, r_p, d_{max}) = Sc(r_c) \times Sp(r_p, d_{ref}) / PDD(r_p, d_{ref})$$

با توجه به تغییرات زیاد Sc بر حسب اندازه میدان، منظور نکردن Sc در محاسبات دوز تومور خطای زیادی را در درمان بیمار بوجود می‌آورد (۶/۸-۷/۸ تا ۷/۹+درصد برای ۱ beam و ۸/۷-۸/۷+درصد برای ۲ beam). تغییرات نسبی Sc پرتو فوتونی دو دستگاه کبالت بر حسب اندازه میدان، روند یکسانی را نشان



(c) IPMV گردیده (b,a) ^{60}Co نیزی نیزی Sp و Sc و Scp - کل شکل



شکل ۵- مقایسه ضرایب پراکندگی برای پرتوهای ^{60}Co و پرتو PMV

Scp_{cal}	Scp_{cal}	Scp_{meas}	ساترن
برای $r_c=r_p$ (در صد خط)	(در صد خط)		میدان بلوک شده
۰/۹۴۰(-۷/۸)	۱/۰۰۸(-۱/۲)	۱/۰۲۰	۵×۵
۰/۹۷۹(-۵/۲)	۱/۰۲۱(-۱/۲)	۱/۰۳۳	۸/۵×۸/۵
۱/۰۲۲(-۲/۳)	۱/۰۳۸(-۰/۷)	۱/۰۴۶	۱۲×۱۲
۱/۰۲۲(۲/۴)	۱/۰۳۸(-۰/۹۵)	۱/۰۴۸	۱۳×۱۳

جدول ۶- مقایسه مقادیر Scp اندازه‌گیری شده و محاسبه شده برای میدان‌های بلوک شده پرتو ^{14}MV

Scp_{cal}	Scp_{cal}	Scp_{meas}	ساترن
برای $r_c=r_p$ (در صد خط)	(در صد خط)		میدان بلوک شده
۰/۹۵۶(-۵/۲)	۱/۰۲۱(-۱/۳)	۱/۰۰۸	۵×۵
۰/۹۸۷(-۳/۴)	۱/۰۲۷(+۰/۱)	۱/۰۲۱	۸/۵×۸/۵
۱/۰۱۸(-۱/۱)	۱/۰۳۵(+۰/۷)	۱/۰۲۹	۱۲×۱۲
۱/۰۲۵(-۰/۴)	۱/۰۳۶(-۰/۷)	۱/۰۲۹	۱۳×۱۳

حاصلضرب Sc برای میدان کولیماتور و Sp برای میدان فانتوم استفاده کرد.

نتایج حاصل از انجام این تحقیق نشان می‌دهد در صورت عدم استفاده از ضرایب پراکندگی در محاسبه دوز تومور، دوز حقیقی منتقل شده به تومور در میدان‌های بدون بلوک پرتو ^{14}MV شتاب دهنده خطی ساترن از $+15$ درصد (در بزرگترین میدان) تا -6 درصد (در کوچکترین میدان) با دوز تجویز شده متفاوت خواهد بود (در مورد پرتو ^{14}Co خطی در حدود $+8$ درصد می‌باشد). برای محاسبه دوز در میدان‌های بلوک شده، صحت روش جداسازی Scp به Sc برای میدان کولیماتور و Sp برای میدان فانتوم مورد تأیید قرار گرفت (حداکثر انحراف مقادیر

نتیجه‌گیری

از فاکتورهایی که ضروری است در محاسبه دوز تومور در پرتو درمانی مورد استفاده قرار گیرد، ضریب پراکندگی کل، Scp ، می‌باشد. بعلت اینکه ساختمان کولیماسیون دستگاه‌های پرتو درمانی با هم متفاوت است، مقدار پراکندگی برای انرژی‌های مشابه، یکسان نمی‌باشد. بنابراین ضروری است در هر بخش پرتو درمانی، ضرایب پراکندگی برای پرتوهای هر دستگاه بطور جداگانه اندازه‌گیری شود. در مواردی که اندازه میدان کولیماتور با اندازه میدان فانتوم متفاوت است (یعنی در SSD های غیر استاندارد، در میدان‌های بلوک شده و در مواردی که مقدار بافت در میدان یکنواخت نیست) بایستی از

(برای بلوک ۹۰ درصد) بیشتر از دوز تجویز شده برای پرتو ۱۲ MV خواهد بود (مقدار حطا با افزایش بلوک و نزدیک شدن بلوک به مرکز میدان افزایش می‌یابد).

محاسبه شده با مقادیر اندازه‌گیری شده ۱/۳ درصد بود). در صورتیکه بجای روش فوق فقط از میدان فانتوم برای انتخاب Scp استفاده شود، دوز تومور از ۲/۴ درصد (برای بلوک ۲۷ درصد) تا ۷/۸ درصد

References:

- 1- Khan FM. *The physics & Radiation therapy*. 2nd ed. Williams and Wilkins, 1994.
- 2- Khan FM. *Dose Distribution problems in cobalt therapy [thesis]*. University of Minnesota, 1969, P. 106.
- 3- Cundiff J H, Cunningham JR, Golden R, et al. In: RPCL AAPM, Compiler. *Dosimetry workshop on Hodgkin's disease*. Houston: MD Anderson Hospital, 1970.
- 4- Mohan R, chui C. *Validity of the concept of separating primary and scatter dose*. Med phys 1985; 12:726.
- 5- Holt, J.G., Laughlin, J.S. and Morony. J.P. *The extension of The concept of tissue-air-ratios (TAR) to high Energy x-ray beams*. Radiology, 1997;96:437-446.
- 6- Bewley, D.K. , Bradshaw, A. L. *Central axis depth dose data for use in Radiotherapy*, Br. J. Radiol. Suppl. no. 17, 1983.
- 7- Khan, F.M., Sewchand, W., Lee, J. et al. *Revision of tissue maximum ratio and scatter-maximum ratio concepts for cobalt 60 and higher energy x-ray beams*. Med. Phys, 1980;7:230-237.
- 8- Krithivas, G. , Rao, S.N. *Dosimetry of 24MV x-rays from a linear accelerator*. Med Phys, 1987; 14:274-281.
- 9- Luxton, G., Astrahan, M.A. *Output factor constituents of a high-energy beam of a 25MV accelerator*. Med. Phys, 1988; 15: 82-87.
- 10-Spicka, J., Herron, D. and orton, C. *Separating output factor in collimator and phantom scatter factor for megavoltage photon calculations*. Med., 1983;13: 23-24.
- 11-Biggs, P.J. Russell, M.D. *An investigation into the presence of secondary electrons in megavoltage photon beams*. Phys. Med. Biol, 1983; 28:1033-1043.
- 12-Nilsson, B. *Electron contamination form different materials in high energy photon beams*. Phys. Med. Biol., 1985; 30:139-151.
- 13-Van Gasteren, J.J. M, Heukelom, *The determination of phantom and collimator scattercomponents of the output of megavoltage photon beams*. Radiother. Oncol, 1991; 20: 250-257.